

УДК 536.46

Б. С. Сеплярский

**ЗАЖИГАНИЕ КОНДЕНСИРОВАННЫХ ВЕЩЕСТВ
ПРИ НАЛИЧИИ ТЕПЛОПОТЕРЬ С БОКОВОЙ ПОВЕРХНОСТИ**

На основе волнового механизма образования квазистационарной зоны химической реакции [1] определены критические условия и время задержки зажигания при наличии тепловых потерь в окружающую среду. В работах [2, 3] критические условия находились согласно стационарной теории. Однако последняя не позволяет рассчитать временные характеристики зажигания, а также учесть влияние выгорания на закономерности воспламенения конденсированных веществ. Как показывают результаты данного исследования, именно связь глубины выгорания η и скорости промежуточной волны ω с величиной потерь тепла в окружающую среду составляют специфику воспламенения в неадиабатических условиях.

Рассматривается обычная в тепловой теории зажигания модель процесса. На границе полубесконечного тела радиусом r_0 , способного к экзотермическому превращению в момент времени $t = 0$, температура мгновенно достигает значения T_3 ($T_3 > T_n$) и затем не меняется. На боковой поверхности тела происходит теплообмен с окружающей средой. Предполагается, что он подчиняется закону Ньютона и характеризуется параметром α . Считается, что в результате реакции образуются только конденсированные продукты и при начальной температуре скорость реакции $W = 0$.

Система уравнений, описывающая такой процесс в безразмерных переменных имеет следующий вид:

$$\begin{aligned}\frac{\partial \Theta}{\partial \tau} &= \frac{\partial^2 \Theta}{\partial \xi^2} + f(\eta) \exp[\Theta/(1 + \beta\Theta)] - z(\Theta + \Theta_n), \\ \frac{\partial \eta}{\partial \tau} &= \gamma f(\eta) \exp[\Theta/(1 + \beta\Theta)] = W(\Theta, \eta).\end{aligned}$$

Начальные и граничные условия:

$$\begin{aligned}\tau = 0, \quad \xi > 0: \quad \Theta(\xi) &= -\Theta_n, \quad \eta(\xi) = 0, \\ \tau > 0, \quad \xi = 0: \quad \Theta(\tau) &= 0, \\ \xi \rightarrow \infty: \quad \partial \Theta / \partial \xi &= 0.\end{aligned}$$

Здесь

$$\begin{aligned}\tau &= t/t_*; \quad t_* = t_{\text{ад}}(T_3) = \frac{cRT_3^2}{EQk_0} \exp\left(-\frac{E}{RT_3}\right); \\ \Theta &= \frac{E(T - T_3)}{RT_3^2}; \quad \xi = \frac{x}{x_*}; \quad x_* = \sqrt{at_{\text{ад}}}; \quad a = \frac{\lambda}{c\rho_0}; \\ \Theta_n &= \frac{E(T_3 - T_n)}{RT_3^2}; \quad \beta = \frac{RT_3}{E}; \quad \gamma = \frac{cRT_3^2}{QE}; \quad z = \frac{\alpha t_{\text{ад}}}{c\rho_0};\end{aligned}$$

T — температура; x — координата; t — время; η — относительная концентрация продуктов реакции; Q — тепловой эффект реакции на единицу массы вещества; c , ρ_0 — теплоемкость и плотность вещества, λ — коэффициент теплопроводности; k_0 — предэкспоненциальный множитель; E — энергия активации; Θ , ξ , τ — безразмерные температура, координата и время; $f(\eta)$ — функция, характеризующая зависимость скорости реакции от глубины превращения исходного вещества; $W(\Theta, \eta)$ — скорость реакции выгорания исходного реагента.

При анализе процесса зажигания считаем выполнеными обычные в теории воспламенения неравенства $\gamma \ll 1$, $\beta \ll 1$. Прежде, чем перейти к непосредственному определению характеристик зажигания, кратко напомним результаты работы [1], где весь процесс воспламенения разбит на стадии: инертный прогрев, распространение зоны реакции, тепловой взрыв. Зажигание начинается со стадии инертного прогрева, когда можно пренебречь реакционным тепловыделением и нет зоны химической реакции. Длительность стадии инертного прогрева τ_i определяется приравниванием потока тепла от нагревателя q_n потоку тепла в промежуточной волне горения q_{ct} . ПВГ — это стационарная волна горения с максимальной температурой, равной температуре зажигания. При $\tau = \tau_i$ по веществу начинает двигаться волна превращения ПВГ, в которой и образуется квазистационарная зона химической реакции. Когда размер этой зоны $\xi_p = \omega(\tau - \tau_i)$ станет равным ширине зоны реакции в ПВГ ($\tau = \tau_0$), все тепло, идущее на нагрев вещества, будет давать химическая реакция, а градиент температур на поверхности станет равным нулю. При дальнейшем увеличении зоны реакции тепло не успевает отводиться в холодные слои вещества. На профиле температур появляется максимум и нагреватель становится холодильником. Когда максимум сместится вправо на величину ξ_{ct} , поток тепла в нагреватель станет равным потоку тепла в исходное вещество, в этом месте и происходит срыв теплового равновесия — воспламенения вещества ($\tau = \tau_s$). Таким образом, для определения τ_i , τ_0 , τ_s необходимо рассчитать основные параметры промежуточной волны горения: скорость ω , размер зоны реакции ξ_{ct} , поток тепла, идущий на нагрев холодных слоев вещества q_{ct} .

Для выяснения качественной стороны вопроса о влиянии теплопотерь на закономерности зажигания конденсированных систем рассмотрим простейшую реакцию нулевого порядка. Считаем, что T_s существенно ниже адабатической температуры горения $T_r = T_n + Q/c$. Для этого случая имеются результаты численных экспериментов в широком диапазоне изменения коэффициента теплоотдачи [3], что позволяет проводить сравнение характеристик зажигания, полученных численным и приближенным методами.

В соответствии с классификацией волн горения [4] ПВГ относится к элементарным моделям горения второго рода, для которых скорость распространения определяется неполным превращением вещества в ведущей зоне. Расчет основных характеристик неадабатических волн горения второго рода с заранее известной максимальной температурой проведен в [5], где показано, что для реакции нулевого порядка параметры фронта выражаются через характеристики адабатической волны (ω_0 , η_0) и эффективный коэффициент теплопотерь $A = z/\omega_0^2$:

$$\begin{aligned} \eta_k &= \eta_0/(1-A), \quad \omega = \omega_0(1-A), \\ \omega_0 &= \sqrt{2}/\Theta_n, \quad \eta_0 = \gamma\Theta_n. \end{aligned} \tag{1}$$

Поток тепла из зоны реакции q_{ct} совпадает с его значением в адабатической волне горения и не зависит от уровня тепловых потерь z и глубины превращения η_k :

$$q_{ct} = \omega\eta_k/\gamma = \omega_0\eta_0/\gamma = \sqrt{2}.$$

Аппроксимируем источник эквивалентным по площади прямоугольником, высота которого равна максимуму скорости тепловыделения

Таблица 1

Θ_H	γ	β	$z \cdot 10^2$	τ_{ii} (3)	τ_{ii} (ЭВМ)	τ_0 (4)	τ_0 (ЭВМ)	τ_3 (5)	τ_3 (ЭВМ)	Режим
10	0	0	0,1	—	—	27	26,54	37	37,25	+
10	0	0	0,5	—	—	32	31,05	45,3	44,5	+
10	0	0	1,0	—	—	41,5	41,2	61,5	56,5	+
10	0	0	1,5	—	—	64,6	60,13	104	83,75	+
10	0,02	0	1,0	21,5	19,6	41,5	41,2	61,5	55,8	+
10	0,02	0	1,3	23,3	21,6	52	51	80	70,4	+
10	0,02	0	1,5	24,6	23,4	64,5	—	—	—	—
10	0,07	0	0,8	—	—	—	—	—	—	—
5	0,02	0,05	6,0	6,15	7,2	26,15	27,8	46,15	43,8	+
5	0,04	0,05	1,0	4,3	4,7	10	10	16,7	16,8	+
5	0,04	0,05	4,0	5,4	5,8	15,4	15,6	25,4	25,6	+
5	0,04	0,05	5,0	5,76	6,4	19	19,8	32,3	31,8	+
5	0,04	0,05	5,5	6	6,8	22	22,8	38	40	+
5	0,04	0,05	6,0	6,15	7,0	26,15	—	—	—	—
5	0,02	0,05	7,0	7	8,0	47	—	—	—	—
5	0,01	0,05	7,0	7	8,0	47	60	87	102	+

Причесание. + — зажигание, — потухание. В численных расчетах время инертного прогрева определялось из формулы

$$q_H(\tau_{ii}) = q_X(\tau_{ii}), \text{ где } q_H = \frac{\partial \Theta}{\partial \xi} \Big|_{\xi=0}, \quad q_X = \int_0^\infty \exp[\Theta/(1+\beta\xi)] d\xi.$$

($W_{max}/\gamma = 1$), а ширина определяется из равенства интегрального тепловыделения реального и модельного источников ($\xi_{ct} = \sqrt{2}$). Поток тепла от нагревателя q_H можно найти из известного распределения температур в полуограниченном стержне без теплоизолированной боковой поверхности, на торце которого поддерживается постоянная температура [6]:

$$q_H = \Theta_H [(\pi\tau)^{-1/2} \exp(-z\tau) + z^{1/2} \operatorname{erf}[(z\tau)^{1/2}]].$$

При малых значениях $z\tau_{ii}$ разложим выражение в квадратных скобках в ряд и, ограничиваясь первым членом, получим

$$q_H = \Theta_H \left[\frac{1}{\sqrt{\pi\tau}} + \frac{z\sqrt{\pi}}{\sqrt{\pi\tau}} \right]. \quad (2)$$

Приравняв (2) потоку тепла в ПВГ $q_{ct} = \sqrt{2}$, найдем

$$\tau_{ii} = \frac{\Theta_H^2}{2\pi} \left(1 + \frac{\Theta_H^2}{2\pi} z \right)^2 = \tau_{ii}^0 (1 + \tau_{ii}^0 z)^2, \quad (3)$$

где τ_{ii}^0 — время инертного прогрева без теплопотерь. Зная скорость волны реакции, а также ξ_{ct} и τ_{ii} , легко определить времена установления τ_0 и срыва теплового равновесия τ_3 :

$$\tau_0 = \tau_{ii} + \frac{\xi_{ct}}{\omega} = \frac{\Theta_H^2}{2\pi} \left(1 + \frac{\Theta_H^2}{2\pi} z \right)^2 + \frac{\Theta_H}{1 - 0,5z\Theta_H^2}, \quad (4)$$

$$\tau_3 = \tau_{ii} + \frac{2\xi_{ct}}{\omega} = \frac{\Theta_H^2}{2\pi} \left(1 + \frac{\Theta_H^2}{2\pi} z \right)^2 + \frac{2\Theta_H}{1 + 0,5z\Theta_H^2}. \quad (5)$$

Сравнение значений τ_{ii} , τ_0 , τ_3 , найденных по формулам (3)–(5), с результатами численного решения исходной системы уравнений на ЭВМ показало их хорошее совпадение (табл. 1). Для $\Theta_H = 10$ и $\gamma = 0$ результаты численного счета взяты из [3], а для других значений параметров получены автором.

При выводе (4), (5) полагалось, что за время формирования зоны реакции τ_3 шириной $2\xi_{ct}$ вещество на поверхности не успевает полностью выгореть. Однако с ростом температуры нагревателя и коэффи-

циента теплопотерь это условие может быть нарушено: τ_z станет больше времени полного выгорания вещества $\tau_b = \gamma^{-1}$ при T_z . Это означает, что между зоной интенсивной химической реакции и нагревателем образуется область продуктов, где скорость тепловыделения равна нулю. Возникновение эффекта отрыва зоны интенсивной химической реакции от нагретой до высокой температуры поверхности и служит критерием, разделяющим нормальные и вырожденные режимы зажигания.

Дальнейшее увеличение теплопотерь приведет к достижению критических условий зажигания — предельным условиям существования промежуточной волны горения. Пределу горения отвечает такое значение z , когда происходит полное превращение вещества в зоне реакции [5]. Положив в (1) $\eta_k = 1$, найдем критические условия зажигания

$$z_{kp} = \frac{2}{\Theta_h^2} (1 - \gamma \Theta_h) = (1 - \eta_0) \omega_0^2. \quad (6)$$

При $z > z_{kp}$ зажигание становится невозможным, процесс химического превращения затухает. Следует отметить, что при $z \approx z_{kp}$ стадия инертного прогрева составляет незначительную часть времени задержки зажигания (см. табл. 1).

Таким образом, при $T_z \ll T_r$ действие нагревателя приведет к воспламенению конденсированного вещества только тогда, когда в результате нагрева тела образуется зона реакции, способная к самостоятельному распространению, т. е. $\xi_p = \xi_{ct}$. Отсюда следует определение момента зажигания — зажигание произошло, если образовалась зона реакции, способная к распространению без внешнего подвода энергии. Для $T_z \ll T_r$ этому условию отвечает момент установления теплового равновесия τ_0 . Развитие процесса при $\tau > \tau_0$ определяет, каким образом происходит выход на режим высокотемпературного горения. При $T_z \geq T_r$ для определения момента зажигания можно использовать условие, предложенное в [8] — количество тепла в нагретой области должно быть больше запаса тепла в прогретом слое стационарной волны горения.

Обобщение полученных результатов на случай произвольной кинетической функции $f(\eta)$ не представляет трудностей. Продемонстрируем это на примере реакции первого порядка $f(\eta) = 1 - \eta$. Так же как и для реакции нулевого порядка, вычисление характеристик зажигания начнем с определения параметров ПВГ. В соответствии с методом узкой зоны [9] оставим в зоне реакции только старшие члены уравнения теплопроводности и после интегрирования для потока тепла из зоны реакции получим

$$q_{ct}^2 = 2 \int_{\Theta_h}^0 \exp[\Theta/(1 + \beta\Theta)] (1 - \eta) d\Theta. \quad (7)$$

Для вычисления интеграла в (7) учтем специфику процессов горения, когда источник сосредоточен в узкой области изменения температуры вблизи $\Theta = 0$. Тогда при вычислении (7) вместо $f(\eta)$ можно использовать среднее значение этой величины при изменении η от 0 до η_k

$$f(\eta)_{cp} = \frac{1}{\eta_k} \int_0^{\eta_k} f(\eta) d\eta = (1 - \eta_k/2). \quad (8)$$

Подстановка (8) в (7) позволяет определить q_{ct} и все остальные характеристики ПВГ:

$$q_{ct}^2 = 2(1 - 0,5\eta_k), \quad \omega = \gamma q_{ct}/\eta_k, \quad \xi_{ct}^2 = 2(1 - 0,5\eta_k).$$

Приравняв q_{ct} потоку тепла, идущему на нагрев исходного вещества найденному из распределения температуры в зоне прогрева ПВГ, полу-

Таблица 2

Θ_H	γ	β	$z_{kp} \cdot 10^2$ (ЭВМ)	$z_{kp} \cdot 10^2 (6)$	Θ_H	γ	β	$z_{kp} \cdot 10^2$ (ЭВМ)	$z_{kp} \cdot 10^2 (6)$
10	0,02	0	1,4	1,6	5	0,02	0,05	6,5	7,2
10	0,04	0	1,7	1,8	5	0,04	0,05	5,7	6,4
10	0,05	0	0,65	1,0	5	0,10	0,05	<2,5	4,0
5	0,01	0,05	7,4	7,6					

чим соотношения, связывающие ω и η_k с уровнем теплопотерь A ,

$$\omega = B\omega_0 \left(1 - \frac{A}{B^2}\right), \quad \eta_k = \frac{\eta_0}{(1 - A/B^2)}, \quad B = \left(\frac{1 - 0,5\eta_k}{1 - 0,5\eta_0}\right)^{1/2}, \quad (9)$$

$$A = \frac{z}{\omega_0^2}, \quad \omega_0 = \frac{\sqrt{2}}{\Theta_H} (1 - 0,5\eta_0)^{1/2} = \omega(z=0), \quad \eta_0 = \eta(z=0) = \gamma\Theta_E.$$

Так же как для реакции нулевого порядка, пределу существования ПВГ отвечает такое значение параметра z , когда достигается полное превращение исходного реагента. Положив в (9) $\eta_k = 1$, найдем скорость волны на пределе распространения и критический уровень тепловых потерь

$$\omega_{kp} = \omega(\eta_k = 1) = \gamma, \quad z_{kp} = (1 - \gamma\Theta_H)/\Theta_H.$$

Согласно [1], эти условия одновременно являются критическими условиями зажигания. При $z > z_{kp}$ воспламенения нет. Приравняв q_n потоку тепла из зоны реакции q_{ct} , получим

$$\tau_n = \frac{\Theta_H^2}{\pi q_{ct}^2} \left(1 + \frac{\Theta_H^2 z}{\pi q_{ct}^2}\right)^2.$$

Зная ω , ξ_{ct} и τ_n , находим и величины

$$\begin{aligned} \tau_0 &= \tau_n + \xi_{ct}/\omega = \tau_n + \eta_k/[\gamma(1 - 0,5\eta_k)], \\ \tau_a &= \tau_n + 2\xi_{ct}/\omega = \tau_n + 2\eta_k/[\gamma(1 - 0,5\eta_k)]. \end{aligned}$$

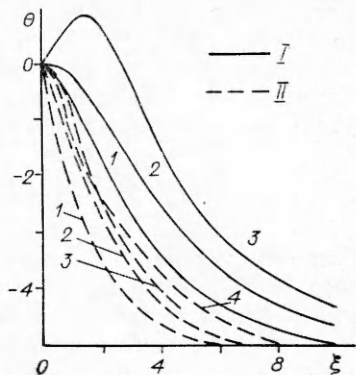
Сравнение времени формирования τ_a зоны реакции шириной $2\xi_{ct}$ и характерного времени выгорания вещества на поверхности τ_b для реакции первого порядка $\tau_b = 1/\gamma$ позволяет создать классификацию режимов воспламенения.

Кроме приближенного анализа задачи велось численное интегрирование исходной нестационарной системы уравнений на ЭВМ. Интегрирование выполнено на неравномерной пространственной сетке по неявной схеме на четырехточечном Т-образном шаблоне. Численный счет полностью подтвердил физическую картину развития процесса воспламенения, положенную в основу расчета, а также основные выводы приближенного анализа. Оказалось, что z_{kp} есть функция произведения $\gamma\Theta$, причем результаты приближенного анализа дают верхнюю оценку для z_{kp} (табл. 2).

На рис. 1, I и рис. 2, a показано характерное распределение температуры в веществе $\Theta(\xi, t)$, а также поток тепла от нагревателя $q_n = -\Theta'_{\xi}|_{\xi=0}$, количество тепла,

Рис. 1. Распределение температуры в веществе в различные моменты времени; $\Theta_H = 5$, $\gamma = 0,04$, $\beta = 0,05$, $\tau_b = \gamma^{-1} = 25$.

I — $z = 0,05$; II — $z = 0,06$. t : 1 — 10, 2 — 20, 3 — 30, 4 — 60.



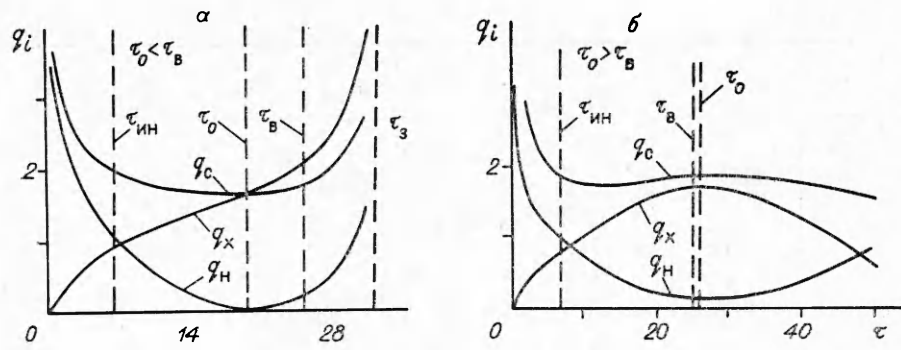


Рис. 2. Зависимость q_h , q_x , q_c от времени; $\Theta_h = 5$, $\gamma = 0,04$, $\beta = 0,05$, $\tau_b = \gamma^{-1} = 25$.
а) $z = 0,05$; б) $z = 0,06$.

выделяемое в результате химического превращения $q_x = \int_0^\infty W/\gamma d\xi$, и общее количество тепла, идущее на нагрев вещества $q_c = q_h + q_x$, в различные моменты времени, найденные в результате численного решения исходной системы для $z < z_{kp}$. Там же приведены значения τ_i и τ_0 , вычисленные по формулам (3), (4). Видно, что на стадии инертного прогрева основной вклад в нагревание вещества вносит поток тепла от нагревателя ($q_h > q_x$). На стадии формирования зоны химической реакции ($\tau_i < \tau < \tau_0$) q_{ct} меняется очень слабо и близко к значению потока тепла в ПВГ, тепловыделение от химической реакции $q_x > q_h$. Изменение q_h и q_x на этом этапе носит практически линейный характер, как это и следует из предложенной модели развития процесса.

При $z > z_{kp}$ и тех же значений основных параметров Θ_h и γ происходит затухание процесса химического превращения (см. рис. 1, II, рис. 2, б). На первой стадии прогрева $\tau < \tau_i$ изменение q_h , q_x , q_c происходит так же, как и при $z < z_{kp}$. Затем следует стадия образования зоны химической реакции $\tau > \tau_i$. Ее размеры увеличиваются пропорционально времени и вместе с ней растет и тепловыделение от химической реакции. Однако до достижения момента установления теплового равновесия τ_0 вещество на поверхности тела выгорит и дальнейшее расширение зоны реакции станет невозможным. Тепловыделение от химической реакции не может обеспечить поток тепла в холодные слои вещества, необходимый для существования промежуточной волны горения. Достигнув максимума в момент $\tau = \tau_b$, q_x начинает уменьшаться. После выгорания вещества в поверхностных слоях образца распределение температуры $\Theta(\xi, \tau)$ и поток тепла на поверхности q_h стремятся к своим стационарным значениям, найденным из решения инертной задачи [6].

Как показали результаты численных расчетов, развитие процесса нагрева зависит от соотношения времен τ_0 и $\tau_b = 1/\gamma$. Если $\tau_0 < \tau_b$, то стадия прогрева заканчивается воспламенением вещества (см. рис. 1, I, рис. 2, а). При $\tau_0 > \tau_b$ ширина зоны реакции не может достигнуть своего значения в ПВГ ξ_{ct} , поэтому распределение волны реакции невозможно и процесс зажигания не реализуется (см. рис. 1, II, рис. 2, б). Таким образом, для нормальных режимов зажигания ($\tau_0(z=0) < \tau_b$) уточненное условие для нахождения z_{kp} имеет вид

$$\tau_0 = \frac{\Theta_h^2}{2\pi} \left(1 + \frac{\Theta_h^2}{2\pi} z_{kp} \right) + \frac{\Theta_h}{1 - 0,5 z_{kp} \Theta_h^2} = \frac{1}{\gamma}.$$

Для определения z_{kp} в вырожденных режимах зажигания ($\tau_0(z=0) > \tau_b$) следует пользоваться результатами численного счета, так как выражение (6) дает завышенные значения.

Итак, на основе волнового механизма образования зоны химической реакции определены основные характеристики процесса зажигания: времена

мена инертного прогрева, установления и срыва теплового равновесия, и выявлен их физический смысл. Показано, что развитие процесса нагрева вещества зависит от соотношения времен формирования зоны химической реакции, способной к самостоятельному распространению τ_0 , и полного выгорания на поверхности образца τ_c . Рассчитаны критические значения коэффициента теплопотерь. Оказалось, что критические условия зажигания совпадают с предельными условиями существования промежуточной волны горения. Определены основные характеристики процесса зажигания для реакции первого порядка. Результаты численных расчетов подтвердили правильность основных допущений, положенных в основу расчета, а также основные выводы приближенного анализа.

ЛИТЕРАТУРА

1. Сеппярекий Б. С. // Химическая физика горения и взрыва. Горение конденсированных систем.—Черноголовка, 1986.
2. Барзыкин В. В., Худяев С. И. Докл. АН СССР, 1966, 169, 6, 1366.
3. Вилюнов В. Н. Теория зажигания конденсированных веществ.—Новосибирск: Наука, 1984.
4. Мержанов А. Г. Докл. АН СССР, 1977, 233, 6, 1130.
5. Алдушин А. П. ФГВ, 1984, 20, 3.
6. Лыков А. В. Теория теплопроводности.—М.: Высш. шк., 1967.
7. Зельдович Я. Б. ЖЭТФ, 1941, 11, 1, 159.
8. Амосов А. П. Докл. АН СССР, 1978, 243, 3, 673.
9. Зельдович Я. Б., Франк-Каменецкий Д. А. ЖФХ, 1938, 12, 1, 100.

г. Куйбышев

Поступила в редакцию 29/V 1989,
после доработки — 20/X 1989

УДК 536.46

Н. С. Захаров, С. А. Казарин

ЗАЖИГАНИЕ КОНДЕНСИРОВАННЫХ ВЕЩЕСТВ В ЗАМКНУТЫХ ОБЪЕМАХ, НАГРЕВАЕМЫХ ВНЕШНИМ ИСТОЧНИКОМ ИЗЛУЧЕНИЯ

Процессу зажигания реагирующих веществ накаленной поверхностью посвящены работы [1—4], подробный обзор которых содержится в [5]. Исследования в [1—4] проводились для реакций, приводящих сразу к образованию конечных продуктов. Как известно [5], горение веществ протекает в несколько стадий, учет которых приводит к более точным результатам. В данной работе рассматриваются закономерности зажигания конденсированных веществ, разлагающихся до конечных продуктов в несколько стадий, когда газообразные составляющие не имеют выхода наружу, что вызывает повышение давления. Источником воспламенения вещества служит металлическая стенка, нагреваемая концентрированным потоком энергии от внешнего источника.

Пусть вследствие нагрева металлической пластины толщиной l_2 внешним тепловым потоком происходит теплопередача к поверхности конденсированного вещества, примыкающего к металлу без газовой прослойки и имеющего ширину l_1 . Нагрев может приводить к плавлению и испарению вещества. Процессы фазового перехода протекают как с поглощением, так и с выделением тепла, причем с повышением температуры развиваются химические реакции. Поскольку вещество плотно прилегает к стенке и считается непористым, то образовавшиеся в результате первичной газификации продукты реакции вызывают повышение давления, которое очень быстро выравнивается по всему объему. Далее